

## بررسی اثر مکان شعله بر دمای شعله در احتراق ابر ذرات جریان پیش‌مخلوط متقابل\*

(یادداشت پژوهشی)

مهدی بیدآبادی<sup>(۱)</sup> علی اسماعیل نژاد<sup>(۲)</sup> یسنای پورمحمد<sup>(۳)</sup>

**چکیده** در این بررسی تحلیلی، انتشار شعله میان ابر ذرات یک جریان متقابل پیش‌مخلوط همگن دو جزئی، متشکل از ذرات سوخت و هوا مطالعه خواهد شد. این مطالعه در چارچوب یک مدل تفودی حرارتی با فرض عدد لوییس واحد و نرخ کریش ثابت است. پروفیل سرعت تابعی از یک متغیر مانند  $X$  فرض شده است. ساختار شعله به سه ناحیه پیش‌گرم-تبخیر، تازک حادی و اکتش و پس از اکتش تقسیم می‌شود. عدد زلدوفیچ بزرگ انتخاب شده و از اتفاق‌های حرارتی صرف‌نظر شده است. این آنالیز تغییرات دمای شعله براساس مکان شعله را نتیجه می‌دهد. پروفیل دما برای نرخ کرنش‌های متفاوت در جریان متقابل ابر ذرات نیز موجود است که این نتایج با دیدگاه‌های تجربی و عددي احتراق ذرات موافق است.

**واژه‌های کلیدی** احتراق ابر ذرات، جریان متقابل، مکان شعله، نرخ کرنش، دمای شعله.

## Investigation of Flame Location Effect on Flame Temperature in Premixed Counterflow Combustion of Particle-Cloud

M. Bidabadi    A. Esmaeilnejad    Y. Pourmohammad

**Abstract** The premixed counterflow flames propagation in combustion of mixture which is a uniform mixture of fuel particles and air is analytically studied. This analysis framework is based on thermal-diffusion model with assumption that the Lewis number is unit and the strain rate is constant. Velocity profile is assumed as a function of one variable like  $x$ . The structure of the flame is presumed to consist of three zones: preheat-vaporization zone, reaction zone and convection zone. The Zeldovich number, based on the gas-phase oxidation of the gaseous fuel is large, and heat loss is neglected. This analysis leads to variation of the flame temperature based on the flame location. Temperature profiles for different strain rates are also available, which is congruent with experimental and numerical standpoints of particles combustion.

**Key Words** Particle-Cloud, Counterflow, Combustion, Flame Location, Flame Temperature.

\*تاریخ دریافت مقاله ۹۱/۳/۹ و تاریخ پذیرش آن ۹۲/۹/۲۴ می‌باشد.

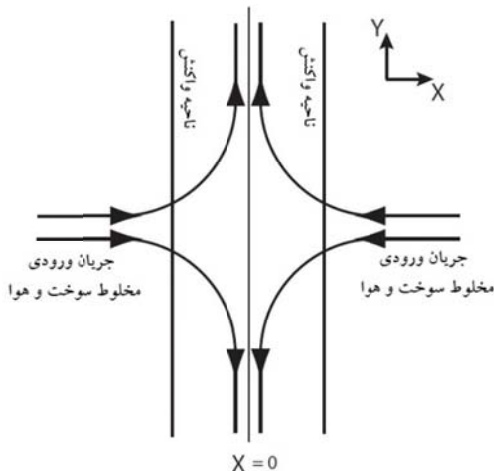
(۱) استاد، دانشکده مهندسی مکانیک، دانشگاه علم و صنعت ایران.

(۲) دانشجوی دکترا، دانشکده مهندسی مکانیک، دانشگاه علم و صنعت ایران.

(۳) نویسنده مسئول: دانشجوی کارشناسی ارشد، دانشکده مهندسی مکانیک، دانشگاه علم و صنعت ایران.

yasnapourmohammad@mecheng.iust.ac.ir

دارد [14]. احتراق ذرات (لایکوپدیوم) در جریان متقابل همان‌گونه که در شکل (۱) نشان داده شده است، قالب‌بندی شده است. پیکربندی مورد بررسی شامل جفت-شعله مسطح می‌باشد.



شکل ۱ صورت نمادین ساختار احتراق در جریان متقابل

در این بررسی فرض شده است که ذرات سوخت در ابتدا تبخیر می‌شوند تا سوخت گازی با ساختار شیمیایی مشخص را تولید کنند و آن‌ها متعاقباً در فاز گازی اکسید می‌گردند. تحلیل موجود در محدوده مجانبی (Asymptotic) صورت پذیرفته است و مقدار مشخصه عدد زلدویچ بر پایه اکسایش فاز گازی بزرگ و مقدار  $1.0 \geq \Phi$  (که  $\Phi$  نسبت همارزی بر پایه سوخت در دسترس در ذرات سوخت می‌باشد)، در نظر گرفته شده است [13]. ساختار شعله شامل سه ناحیه است. یک ناحیه پیش‌گرمایش تبخیری که در آن نرخ واکنش شیمیایی فاز گازی کوچک است؛ یک ناحیه واکنش که در آن جابه‌جایی و نرخ تبخیر ذرات سوخت اندک می‌باشد و هم‌چنین یک ناحیه جابه‌جایی که در آن نرخ ترمومتری نفوذ در معادلات بقا کوچک است. نحوه این تقسیم‌بندی در شکل (۲) نشان داده شده است.

## مقدمه

در دهه‌های اخیر، پیکربندی جریان متقابل با وسعت زیاد به صورت مطالعات تئوری، تجربی و آزمایشگاهی توسعه داده شده است و به‌شکل تحقیق بررسی اثرات عوامل فیزیکی مختلف مانند نرخ کرنش، نفوذ، تشعشع و سیستیک شیمیایی بر روی شعله واقعی می‌باشد. از آنجا که در بسیاری از کاربردهای عملی میدان جریان به طرز محسوسی دارای کشیدگی و کرنش می‌باشد، به‌منظور پیش‌بینی واقع‌بینانه‌تر رفتار شعله، پیکربندی جریان متقابل می‌تواند مناسب باشد. در واقع به‌کمک این پیکربندی می‌توان بسیاری مسائل صنعتی مرتبط با احتراق، مانند نحوه اثرباره اثرباره افزایش شعله‌ها از یکدیگر و یا فاصله شعله از دیواره آدیابتاتیک، بر روی دمای شعله را پاسخ داد. مثال‌هایی که در ارتباط با این کار می‌باشند، مطالعات یکبعدی جفت-شعله را شامل می‌شوند. یک مسئله بسیار مهم در احتراق جریان متقابل محاسبه محدوده اشتغال‌پذیری [1-5] و بررسی دو بعدی لبه شعله‌های پیش‌مخلوط در این پیکربندی می‌باشد [6-9]. تاکنون، انتشار شعله از میان ابر ذرات لایکوپدیوم به صورت تجربی و تحلیلی مورد بررسی قرار گرفته [13-16] ولی احتراق جریان متقابل تنها برای گازها مورد بررسی قرار گرفته است [15, 16]. با توجه به کمبود پژوهش در زمینه احتراق جریان متقابل ذرات خصوصاً ذرات ارگانیک، فرضیات و فرمول‌بندی‌های ارائه شده در این پژوهش می‌تواند به عنوان یک مینا، خصوصاً برای بررسی اثر نفوذ، نرخ کرنش و مکان شعله در احتراق جریان متقابل ابر ذرات ارگانیک مورد استفاده قرار گیرد.

## معرفی مسئله

در این پژوهش حل یکبعدی اساس کار قرار گرفته و فرض شده است که شرایط مرزی برای حل دو بعدی در فاصله دوردست از جریان بالادست و پایین‌دست قرار

## معادلات حاکم

معمولًا برای گازها پروفیل سرعت جریان متقابل به صورت  $u = (ax, -ay)$  فرض می‌شود [14,16]، که  $a$  نرخ کرنش و دارای بعد می‌باشد. برای احتراق ذرات به دلیل تغییرات چگالی و با توجه به معادلات (۲) و (۱) می‌توان پروفیل سرعت را به صورت معادله (۳) بیان کرد. در جریان یک بعدی، با فرض ثابت بودن نرخ کرنش [19]:

$$2a = -\frac{1}{\rho} \frac{d(\rho u)}{dx} \quad (1)$$

$$x = \int_0^x \frac{\rho}{\rho_u} dx \quad (2)$$

و با ترکیب دو معادله فوق و حل آن خواهیم داشت:

$$-2\rho_u ax = \rho u \quad (3)$$

معادله‌های حاکم به صورت زیر می‌باشند:

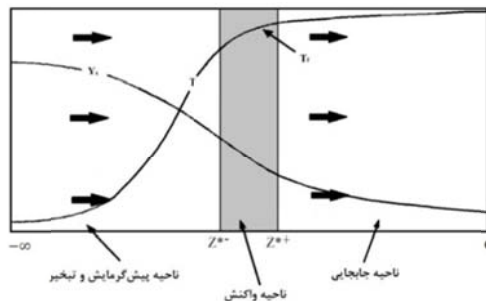
$$-2\rho_u ax C \frac{dT}{dx} = \lambda_u \frac{d^2 T}{dx^2} + w_F \frac{\rho_u}{\rho} Q - w_v \frac{\rho_u}{\rho} Q_v \quad (4)$$

$$-2\rho_u ax \frac{dY_F}{dx} = \rho_u D_u \frac{d^2 Y_F}{dx^2} - w_F \frac{\rho_u}{\rho} + w_v \frac{\rho_u}{\rho} \quad (5)$$

$$\rho T = \text{const} \quad (6)$$

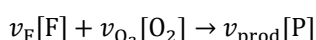
ناحیه نازک واکنش در  $x^* = x$  فرض شده است و در معادلات (۱-۶)،  $\rho$  نشان دهنده چگالی،  $u$  نشان دهنده سرعت جریان،  $Y_F$  نشان دهنده کسر جرمی سوخت،  $w_F$  نشان دهنده نرخ واکنش می‌باشد که واحد جرم سوخت گازی در حجم واحد و واحد زمان است.

$$C = C_p + \frac{4\pi r^3 C_s \rho_s n_s}{3\rho} \quad (7)$$



شکل ۲ نحوه تقسیم‌بندی نواحی

مدل مورد بررسی به صورت پایا، یک بعدی و شعله تخت انتشار یافته در مخلوط احتراقی شامل مخلوط یکنواخت ذرات سوخت فرار درون هوا می‌باشد. مقدار اولیه چگالی ذرات،  $n_u$  (تعداد ذرات در واحد حجم)، شعاع اولیه و  $r_u$  معلوم فرض شده‌اند. از همه نیروهای خارجی شامل اثرات گرانش و غیره، چشم‌پوشی شده است. هم‌چنین قابل ذکر است که نفوذ در اثر گرادیان فشار نادیده گرفته شده و از اثر سوت-دوفور صرف نظر شده است. انتقال حرارت در اثر تشعشع همواره نقش مهمی را در انتشار شعله ایفا می‌کند [1-3,17,18]. اما به دلیل این‌که نرخ شار فراسایشی محلی تشعشع متناسب با مقدار محلی چگالی عددی ( $n_s$ ) و شعاع ذره ( $r$ ) می‌باشد، انتقال توسط این مکانیزم می‌تواند به‌نحوی گسترش یابد که برای مقادیر اندک  $r_s$  و وقتی  $1 \ll \frac{r_f}{r_u}$  است کوچک باشد، که در آن شعاع ذرات سوخت در ناحیه واکنش است. دقیقاً بیان می‌شود که تحلیل تنها تحت این شرط کاربردی می‌باشد [13]. فرآیند واکنش به صورت یک واکنش کلی تک مرحله‌ای است به صورت:



که در آن علامت‌های  $F$ ،  $O_2$  و  $P$  به ترتیب نماد سوخت، اکسیژن و فرآورده‌ها و کمیات  $v_F$ ،  $v_{O_2}$  و  $v_{prod}$  نیز نشان دهنده ضرایب استوکیومتری نسبی آن‌ها می‌باشند.

$$y_s = \frac{4\pi r^3 n_s \rho_s}{3\rho Y_{Fc}} \quad (16)$$

$$L_e = \frac{\lambda}{\rho C_D} = 1 \quad (17)$$

با جایگذاری ترم دمای بی بعد در معادله (۱۰)

داریم:

$$w_v = A n_s 4\pi r^2 \theta^n (T_f - T_u)^n \quad (18)$$

در نهایت با استفاده از معادلات (۱۱-۱۸) معادلات

بقای بی بعد شده (۱۹-۲۱) بدست می آیند:

$$-2z \frac{d\theta}{dz} = \frac{d^2\theta}{dz^2} + \omega \frac{\rho_u}{\rho} - y_s^{2/3} \gamma \theta^n q \quad (19)$$

$$-2z \frac{dy_F}{dz} = \frac{d^2y_F}{dz^2} - \omega \frac{\rho_u}{\rho} + \gamma \theta^n y_s^{2/3} \quad (20)$$

$$2z \frac{dy_s}{dz} = \gamma y_s^{2/3} \theta^n \quad (21)$$

شرط مرزی برای معادلات (۱۹-۲۱) عبارتند از:

$$\begin{cases} z \rightarrow 0 & \begin{cases} \theta = \theta_b = \frac{T_b - T_u}{T_f - T_u} \\ y_f = \text{finite} \end{cases} \\ z \rightarrow -\infty & \begin{cases} \theta = 0 \\ y_f = 0 \\ y_s = \alpha = \frac{Y_{Fu}}{Y_{Fc}} \end{cases} \end{cases} \quad (22)$$

### حل معادلات بی بعد

در این تحلیل کمیت  $q$  که نشان دهنده نرخ گرمای مورد نیاز برای تبخیر ذرات سوخت می باشد به نسبت گرمای آزاد شده در شعله بسیار کوچک فرض شده است. اگر  $\theta^0$  نشان دهنده دمای بی بعد برای  $0 = q$  باشد، سپس معادلات (۱۹-۲۱) با این فرض به صورت زیر نوشته می شود:

معادله بقای کسر جرمی ذرات،  $y_s$ ، با صرف نظر از اثر

نفوذ به صورت زیر می باشد:

$$-2\rho_u a x \frac{dy_s}{dx} = -w_v \frac{\rho_u}{\rho} \quad (8)$$

شرط مرزی معادلات (۸، ۵، ۴) به صورت زیر است:

$$\begin{cases} x = -\infty \rightarrow Y_F = 0, T = T_u, Y_s = Y_{Fu} \\ x = 0 \rightarrow Y_F = \text{finite}, T = T_b \end{cases} \quad (9)$$

که در آن  $T_b$  دمای آدیباتیک نهایی شعله و  $Y_{fu}$  نشان دهنده کسر جرمی سوخت در دسترس در درون ذره می باشد. بدلیل آن که نرخ تبخیر با افزایش  $T$  افزایش می یابد، می توان انتظار این پدیده را نزدیک ناحیه واکنش داشت که بنابراین، برای  $(T_f - T_u)/T_u \gg 1$  نرخ تبخیر را می توان متناسب با  $(T - T_u)^n$  به شکل زیر در نظر گرفت:

$$w_v = A n_s 4\pi r^2 (T - T_u)^n \quad (10)$$

$$Q = \frac{C(T_f - T_u)}{Y_{Fc}} \quad (11)$$

روابط مورد استفاده برای بی بعدسازی معادلات بقا عبارتند از:

$$\theta = \frac{T - T_u}{T_f - T_u}, \quad y_F = \frac{Y_F}{Y_{Fc}}, \quad y_s = \frac{Y_s}{Y_{Fc}}, \quad z = \sqrt{\frac{\rho_u a C}{\lambda_u}} x \quad (12)$$

$$\omega = \frac{w_F}{\rho_u a Y_{Fc}} \quad (13)$$

$$\gamma = \frac{4.836 A n_u^{1/3} (T_f - T_u)^n}{\rho_u^{1/3} a Y_{Fc}^{1/3} \rho_s^{2/3}} \quad (14)$$

$$q = \frac{Q_v}{Q} \quad (15)$$

خواهد بود که با فرض توان  $n = 1.33$ ، [10] عبارت درون انتگرال بر حسب  $z$  را می‌توان با دقت بیش از ۹۵٪ با تابع زیر در بازه ۰-۰.۰۱ تا  $\infty$  - تخمین زد:

$$\frac{(\operatorname{erf}(z) + 1)^{1.33}}{z} = -39.7e^{25.59z} - 9.017e^{4.997z} \quad (29)$$

با توجه به شرایط مرزی زیر:

$$z \rightarrow -\infty \rightarrow y_s = \alpha = \frac{Y_{Fu}}{Y_{Fc}}$$

و با جایگذاری معادله (۲۹) درون معادله (۲۸) و انتگرال‌گیری از معادله (۲۸) رابطه (۳۰) به دست می‌آید:

$$y_s = -\beta \left( 1.8045e^{4.997z} + 1.1514e^{25.59z} - \alpha^{\frac{1}{3}} \right) \quad (30)$$

$z \leq z^*$

که در معادله (۳۰)،  $\beta$  برابر است با:

$$\beta = \frac{\gamma}{6(\operatorname{erf}(z^*) + 1)^{1.33}} \quad (31)$$

با قرار دادن معادلات (۳۰ و ۲۷) درون دومین معادله از معادلات (۲۳)، می‌توان به حل آن پرداخت:

$$\begin{aligned} \frac{d^2y_F}{dz^2} + 2z \frac{dy_F}{dz} &= \frac{-\gamma}{2(\operatorname{erf}(z^*) + 1)^n} \left[ (\operatorname{erf}(z) + 1)^n \right] \\ &\left[ \beta^2 (1.8045e^{4.997z} + 1.1514e^{25.59z}) - \alpha^{\frac{1}{3}} \right]^2 \end{aligned} \quad (32)$$

$$\begin{cases} \frac{dy_F}{dz} = y_F & at \quad z = -\infty \\ y_F = y_{Ff} & at \quad z = z^* \end{cases} \quad (33)$$

$$\begin{aligned} -2z \frac{d\theta^0}{dz} &= \frac{d^2\theta^0}{dz^2} + \omega \frac{\rho_u}{\rho} \\ -2z \frac{dy_F}{dz} &= \frac{d^2y_F}{dz^2} - \omega \frac{\rho_u}{\rho} + \gamma \theta^0 n y_s^{2/3} \\ 2z \frac{dy_s}{dz} &= -\gamma y_s^{2/3} \theta^0 n \end{aligned} \quad (23)$$

حل مجانبی (Asymptotic) معادلات (۲۳) نشان خواهد داد که وقتی عدد زلدويچ به سمت بینهایت می‌کند ( $Ze \rightarrow \infty$ ) آنگاه  $\gamma$  از مرتبه ۱ ( $\gamma = O(1)$ ) خواهد بود. تعریف عدد زلدويچ در معادله (۲۴) آمده است.

$$Ze = \frac{E(T_f - T_u)}{RT_f^2} \quad (24)$$

ناحیه پیش گرمایش-تبخیر. وقتی که عدد زلدويچ به سمت بینهایت می‌کند ( $Ze \rightarrow \infty$ ) واکنش شیمیایی بین سوخت گازی و اکسیدکننده در این ناحیه  $Z < Z^*$  ( $Z^* = \omega = 0$ )، قابل چشمپوشی می‌باشد، محل تشکیل شعله می‌باشد. بنابراین معادله اول در معادلات (۲۳) به صورت زیر خواهد بود:

$$-2z \frac{d\theta^0}{dz} = \frac{d^2\theta^0}{dz^2} \quad (25)$$

$$\begin{cases} \theta^0 = 1 & at \quad z = z^* \\ \theta^0 = 0 & at \quad z \rightarrow -\infty \end{cases} \quad (26)$$

با حل معادله (۲۵) و اعمال شرایط مرزی (۲۶) معادله توزیع دما در ناحیه پیش گرمایش به شکل زیر خواهد بود:

$$\theta^0 = \frac{\operatorname{erf}(z) + 1}{\operatorname{erf}(z^*) + 1} \quad (27)$$

حال معادله (۲۷) را درون سومین معادله از معادلات (۲۳) قرار می‌دهیم، در نتیجه:

$$\int y_s^{-\frac{2}{3}} dy_s = \frac{\gamma}{2(\operatorname{erf}(z^*) + 1)^n} \int \frac{(\operatorname{erf}(z) + 1)^n}{z} dz \quad (28)$$

$$y_F = \epsilon(b + y) \quad (40)$$

$$\theta^0 = 1 - \epsilon t \quad (41)$$

$$b = \frac{y_F}{\epsilon}, \quad \epsilon = \frac{1}{Ze} \quad (42)$$

در روابط فوق،  $\epsilon$  پارامتر انبساطی می‌باشد که بسیار کوچک فرض شده است. قابل ذکر است که کمیات  $b$  و  $t$  از مرتبه واحد فرض شده‌اند. با فرض:

$$k = Be^{\frac{-E}{RT_f}} \quad (43)$$

و با قرار دادن بسطهای (۳۹-۴۱) درون معادله اول از معادلات (۲۳)، با استفاده از معادلات (۳۸) و (۱۳-۱۵) در حد  $0 \rightarrow \epsilon$  و با توجه به این که کمیت  $\Lambda$  به صورت زیر و از مرتبه یک فرض شده است:

$$\Lambda = \frac{v_F B \epsilon^2}{a} e^{\frac{-E}{RT_f}} \quad (44)$$

و با استفاده از روابط (۱۲) خواهیم داشت:

$$\frac{d^2t}{d\eta^2} = \Lambda(b + y)e^{-t} \quad (45)$$

$$\frac{d^2(t - y)}{d\eta^2} = 0 \quad (46)$$

از معادله (۴۶) و با اعمال شرایط مرزی (۴۷):

$$\eta \rightarrow \infty \begin{cases} \frac{dy}{d\eta} = 0, & y = 0 \\ \frac{dt}{d\eta} = 0, & t = 0 \end{cases} \quad (47)$$

رابطه (۴۸) حاصل می‌گردد:

$$t = y \quad (48)$$

شرط مرزی در بینهایت منفی را می‌توان با استفاده از معادله (۲۶) به دست آورد:

**ناحیه جابه‌جایی (پس از واکنش).** در ناحیه جابه‌جایی که در پایین دست ناحیه واکنش قرار دارد، ترم نفوذ در معادلات بقا در مرتبه‌ای پایین‌تر از ترم جابه‌جایی، واکنش و تبخیر در معادلات (۲۳) فرض شده است. ساختار این ناحیه با مختصات قراردادی:

$$\zeta = \epsilon z \quad (34)$$

که در آن  $\epsilon$  کمیتی بسیار کوچک است. در نتیجه از معادلات (۲۳) و با اعمال معادله (۳۴) و با توجه به این که ترم نفوذ از مرتبه‌ای پایین می‌باشد، برای ناحیه داریم  $z = z^{*+}$ :

$$\frac{d\theta^0}{d\zeta} = 0(\epsilon^2) \quad (35)$$

$$\frac{d\theta^0}{dz} = 0(\epsilon) \quad (36)$$

$$\frac{dy_F}{dz} = 0(\epsilon) \quad (37)$$

قابل ذکر است که ناحیه  $z^{*+}$ ، فاصله بین ناحیه جابه‌جایی و واکنش می‌باشد.

**ناحیه واکنش.** در ناحیه واکنش فرض می‌شود که ترم‌های جابه‌جایی و تبخیر نسبت به ترم‌های نفوذ و واکنش کوچک می‌باشند. به دلیل این‌که در تحلیل محدودیت‌های ابتدایی، سوخت محدود کننده واکنش خواهد بود و اکسیژن کافی در دسترنس می‌باشد، نرخ واکنش  $w_F$  ظاهر شده در معادلات (۵) و (۴) را می‌توان به صورت زیر نوشت:

$$w_F = v_F W_F k C_F \quad (38)$$

که در آن  $C_F$  و  $W_F$  به ترتیب غلظت مولی و وزن ملکولی سوخت می‌باشند. حال کمیات زیر تعریف می‌گردد:

$$z - z^* = \epsilon \eta \quad (39)$$

خواهد بود و در این معادله به دست آمده  $M$  باید برابر با حل حاصل از تبدیل معادله (۳۰) به معادله درجه یک و سپس حل آن باشد. از این معادله می‌توان کمک گرفت و تغییرات  $z^*$  و  $T_f$  و  $a$  را به صورت هم‌زمان بررسی کرد. برای مقادیر داده شده  $r_u$  و  $n_u$  کمیت زیر قابل محاسبه می‌باشد:

$$Y_{Fu} = \frac{4\pi r_u^2 n_u \rho_s}{3\rho_u} \quad (55)$$

اگر سیستیک تبخیر و سوخت گازی تولید شده توسط ذرات معلوم باشد، کمیات  $A$  و  $n$  قابل توصیف می‌باشند. وقتی که سیستیک اکسید شدن سوخت گازی مشخص باشد، پارامترهای کلی نرخ سیستیک شیمیایی  $B$  و  $E$  ضریب استوکیومتری  $y_f$  و گرمای آزاد شده بر واحد جرمی سوخت مصرفی  $Q$  قابل تعریف می‌باشد.

### ارزیابی نتایج

در این بررسی فرض شده است که ابر ذرات فرار سوخت در گاز اکسید کننده به صورت یکنواخت توزیع شده است. برای اهداف نشان داده شده فرض بر این است که گازهای موجود در سوخت که از ذرات سوخت خارج می‌شوند، مtan می‌باشند [13]. به علت آن که در ابتدا فرض شده بود که سرعت واکنش شیمیایی در ناحیه واکنش توسط غلظت سوخت گازی محدود می‌شود، پارامترهای کلی نرخ سیستیک شیمیایی،  $n = 1.33$  و  $A = 3.4E - 6 \text{ (g)}_F / [(cm^2)_s K s]$  برای محاسبه نرخ تبخیر از معادله (۱۰)، انتخاب شده‌اند [10]. در محاسبات  $\rho_u = 1.135E - \lambda_u = 3.5E - 4 \text{ cal/cm.s.K}$  و  $T_u = 300 \text{ K}$  و  $\rho_s = 1.0 \text{ g/cm}^3, 3 \text{ g/cm}^3$

$$\left. \frac{dt}{d\eta} \right|_{\eta \rightarrow -\infty} = -\frac{2}{\sqrt{\pi}} \frac{e^{-z^{*2}}}{\operatorname{erf}(z^*) + 1} = -M \quad (49)$$

حال به سادگی با انتگرال گیری از معادله (۴۵) و اعمال شرایط مرزی جواب زیر حاصل خواهد شد:

$$2\Lambda(b+1) = M^2 \quad (50)$$

### تعیین مکان شعله

با قرار دادن معادله (۵۰) درون معادله (۴۴) می‌توان محل شعله را تعیین کرد:

$$M = \sqrt{\frac{2(1+b)v_F Be^2}{a}} e^{\frac{-E}{2RT_f}} \quad (51)$$

اگر مقادیر  $b$  و  $T_f$  معلوم باشند، به کمک معادله (۵۱) می‌توان مکان شعله  $z^*$  را محاسبه کرد. برای محاسبه این کمیات تحلیل ساختار ناحیه جابه‌جاوی ضروری است. برای مقادیر به اندازه کافی بزرگ  $T_f$  قابل قبول است که  $y_{Ff} = 0$  باشد که مستلزم  $b = 0$  است.  $0$  مقدار  $T_f$  می‌تواند توسط قرار دادن گرادیان  $y_F$  و  $0$  برای تعیین شرایط جهش زیر در ناحیه واکنش، محاسبه گردد:

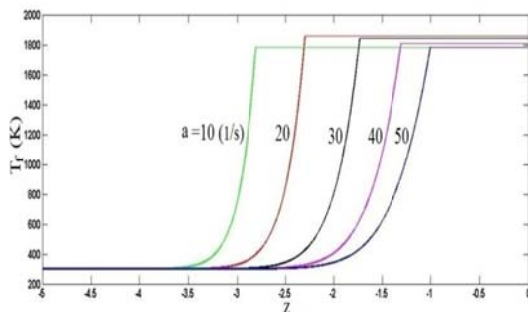
$$\left[ \frac{d\theta^0}{dz} \right]_{z^*+} + \left[ \frac{dy_F}{dz} \right]_{z^*+} = \left[ \frac{d\theta^0}{dz} \right]_{z^*-} + \left[ \frac{dy_F}{dz} \right]_{z^-} \quad (52)$$

با قرار دادن معادله (۲۷) و حل (۳۲) درون (۵۲) و با استفاده از  $y_{Ff} = 0$  و فرض این که گرادیان‌ها در  $z^{*+}$  از مرتبه  $\epsilon$  هستند، در نتیجه:

$$\left[ \frac{d\theta^0}{dz} \right]_{z^*+} \approx 0, \quad \left[ \frac{dy_F}{dz} \right]_{z^*+} \approx 0 \quad (53)$$

$$\left[ \frac{d\theta^0}{dz} \right]_{z^*-} = M \quad (54)$$

افزایش می‌یابد اما برای مقادیر بزرگ‌تر از  $20 \text{ s}^{-1}$  با افزایش نرخ کرنش دمای شعله کاهش خواهد داشت که شیوه این مسئله در نتایج حل عددی احتراق جریان متناظر سوخت گازی مشاهده شده است [15].



شکل ۴ پروفیل تغییرات دما بر حسب پارامتر  $a$  بعد فاصله  $z$  برای نرخ کرنش‌های مختلف

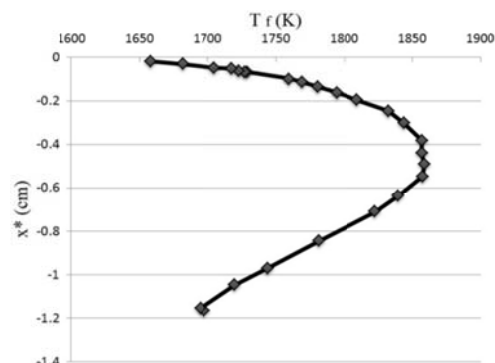
### نتیجه‌گیری

در این مقاله، احتراق جریان متناظر برای مخلوط ذرات ارگانیک و هوا به صورتی کاملاً بدین معنی مورد بررسی گرفت. فرض متغیر بودن پروفیل سرعت و ذره ارگانیک بودن سوخت همواره سبب افزایش پیچیدگی معادلات احتراقی و مدل‌سازی ریاضی برای حل آنها خواهد شد. انطباق صورت گرفته برای حل معادلات در ناحیه احتراق و استفاده از روش انبساط (Expansion Method) در این ناحیه نازک که روش جدیدی برای حل معادلات احتراقی جریان متناظر ذرات می‌باشد، می‌تواند مبنای برای توسعه روش‌های تحلیلی در احتراق جریان متناظر باشد. با توجه به کمبود تحقیق در مورد احتراق جریان متناظر مخلوط ذرات ارگانیک و هوا به کمک مدل‌سازی صورت گرفته و با استفاده از نتایج حاصل می‌توان به شناخت دقیق‌تری در ارتباط با نحوه تأثیرگذاری مکان شعله و نرخ کرنش بر دمای آن رسید که این مسئله می‌تواند در طراحی مشعل‌های متناظر و حتی در مورد فاصله مشعل‌ها از دیواره در حالت آدیباویک نیز مفید باشد.

$q = 0.01$  انتخاب شده است و سایر خواص، عبارتند از [10]:

$$C = 0.34 \text{ cal/g K} n_u = 3900 \text{ m}^{-3} r_u = 20 \mu\text{m}$$

شکل (۳) که از حل معادلات (۵۰، ۵۱) بهصورت همزمان در بازه صفر تا منفی بی‌نهایت بهدست آمده است، نحوه تأثیر مکان شعله (نرخ کرنش) بر روی دمای شعله را در یک جریان متناظر ابر ذرات نشان می‌دهد. همان‌گونه که از شکل (۴) مشاهده می‌گردد، با افزایش نرخ کرنش شعله به مبدأ نزدیک می‌گردد و با کاهش آن شعله از مبدأ دور می‌شود و دمای آن با سرعت زیاد کاهش می‌یابد. ماکریم دمای شعله در حدود  $x^* = -0.488842 \text{ cm}$  (ا  $a = 20 \text{ Sec}^{-1}$ ) رخ خواهد داد و پس از آن دوباره دمای شعله نزول خواهد کرد.



شکل ۳ نمودار تغییرات  $T_f$  بر حسب تغییرات  $x^*$  برای احتراق جریان متناظر ابر ذرات

شکل (۴) تغییرات پروفیل دما را بر حسب عدد  $a$  بعد  $z$  که در معادله (۱۲) تعریف شده است برای نرخ کرنش‌های مختلف نشان می‌دهد. همان‌گونه که ملاحظه می‌گردد با کاهش نرخ کرنش بازه تغییرات دما کوچک‌تر و نمودار آن در قسمت تغییرات شدید دمایی به خط عمودی نزدیک‌تر خواهد شد. با افزایش نرخ کرنش تا حدود  $a = 20 \text{ Sec}^{-1}$  همواره دمای شعله

$n$	تعداد ذرات بر واحد حجم، $1/cm^3$	این پژوهش نشان می‌دهد که همواره با نزدیک‌تر کردن فاصله شعله‌ها نمی‌توان افزایش دما را انتظار داشت و
$D$	ضریب نفوذ، $m^2/s$	افزایش نرخ کرنش نیز همواره افزایش دما را نتیجه نمی‌دهد. با توجه به نتایج به‌دست آمده، در طراحی
$a$	نرخ کرنش، $1/s$	مشعل‌ها می‌توان مکان شعله را در جایی قرار داد که میزان دما بیشترین مقدار خود را داشته باشد که این
$A$	پارامتر مشخصه نرخ تبخیر ذرات سوخت (معادله ۱۰)	مکان براساس فرضیه‌های صورت گرفته برای احتراق جریان متقابل ذرات لاپوپدیوم معادل با نرخ کرنش
$Q$	حرارت آزاد شده بر واحد جرم سوخت گازی مفروض	۲۰ Sec <sup>-۱</sup> می‌باشد. در این بررسی از کلیه اتصال‌های حرارتی صرف‌نظر شده است، در نتیجه در ناحیه پس از واکنش پروفیل تغییر دما تخت و برابر با دمای آدیباتیک می‌باشد. قابل ذکر است که این مدل را می‌توان با در نظر گرفتن میزان تلفات و یا بزرگ‌در نظر گرفتن انرژی تبخیر سوخت توسعه داد.
$W$	وزن ملکولی	
$Ze$	عدد زلدویچ (معادله ۴۲)	
$E$	انرژی مشخصه فعال سازی واکنش در فاز گازی	
$z$	متغیر مستقل معادل (معادله ۱۲)	
	علامیونانی	
$\mu$	لزجت، $pa.sec$	
$\lambda$	هدایت گرمایی	
$\theta$	تعریف شده در معادله (۱۲)	
$\omega$	تعریف شده در معادله (۱۳)	
	زیرنویس	
$p$	ذره جامد	
$f$	خاصیت وابسته به شعله	
$F$	خواص مربوط به سوخت	
		x فاصله، $cm$
		u سرعت، $cm/sec$
		d = 2r قطر، $\mu m$
		k نرخ ثابت واکنش در فاز گازی
		T دما، K
		C ظرفیت حرارتی مخلوط، $cal/g.K$
		$\rho$ چگالی، $g/cm^3$

### فهرست علامت

### مراجع

1. Buckmaster, J.D., "The effects of radiation on stretched flames", *Combust. Theory Model.*, Vol. 1, pp. 1–11, (1997).
2. Ju, Y., "Flame bifurcations and flammable regions of radiative counterflow premixed flames with general Lewis numbers", *Combust. Flame*, Vol.113, pp. 603–614, (1998).
3. Guo, H., Ju, Y., Maruta, K., Niioka, T. and Liu, F., "Radiation extinction limit of counterflow premixed lean methane–air flames", *Combust. Flame*, Vol. 109, pp. 639–646, (1997).
4. Ju, Y., Xue, Y., "Extinction and flame bifurcations of stretched dimethyl ether premixed flames", *Proc. Combust. Inst.*, Vol. 30, pp. 295–301, (2005).

5. Ju, Y., Liu, F. and Guo, H., "Effects of the Lewis number and radiative heat-loss on the bifurcation and extinction of CH<sub>4</sub>/O<sub>2</sub>-N<sub>2</sub>-He flames", *J. Fluid Mechan.*, Vol. 379, pp. 165–190, (1999).
6. Liu, J.B. and Ronney, P.D., "Premixed edge-flames in spatially varying straining flows", *Combust. Sci. Technol.*, Vol. 144, pp. 21–46, (1999).
7. Daou, J., Matalon, M. and Li~n'an, A., "Premixed edge flames under transverse enthalpy gradients", *Combust. Flame*, Vol. 121, pp. 107–121, (2000).
8. Daou, J. and Li~n'an, A., "Ignition and extinction fronts in counterflowing premixed reactive gases", *Combust. Flame*, Vol. 118, pp. 479–488, (1999).
9. Daou, R., Daou, J. and Dold, J., "Effect of heat-loss on flame-edges in a premixed counterflow", *combust. Theory Model.*, Vol. 7, pp. 221-242, (2003).
10. Seshadri, K., Berlad, A. and Vtangirala, L., "The Structure of Premixed Particle-Cloud Flames", *Combustion and Flame*, Vol. 89, pp. 333-342, (1992).
11. Han, O., Yashima, S., Matsuda, M., Matsui, T., Miyake, H. and Ogawa, A.T., "Behavior of flame propagating through lycopodium dust clouds in a vertical duct", *J. Loss Prev. Process Ind.*, Vol. 13 (6), pp. 449–457, (2000).
12. Han, O., Yashima, S., Matsuda, M., Matsui, T., Miyake, H. and Ogawa, A.T., "A study of flame propagation mechanisms in lycopodium dust clouds based on dust particles' behavior", *Journal of Loss Prevention in the Process Industries*, Vol. 14, pp. 153–160, (2001).
13. Bidabadi, M. and Rahbari, A., "Modeling Combustion of Lycopodium Particles by Considering the Temperature Difference between the Gas and the Particles", *Combust. Explosion and Shock Waves*, Vol. 45, pp. 278–285, (2009).
14. Daou, J., "Strained premixed flames: Effect of heat-loss, preferential diffusion and reversibility of the reaction", *Combustion Theory and Modelling*, Vol. 15, pp. 437–454, (2011).
15. Cho, S.J. and Takita, K., "Numerical study of premixed twin edge flames in a counterflow field", *Combust. Flame*, Vol. 144, pp. 370–385, (2006).
16. Buckmaster, J., "Edge-flames", *Energy and Combustion Science*, 28, pp. 435–475, (2002).
17. Joulin, G. and Deshaies, B., "On radiation-affected flame propagation in gaseous mixtures seeded with inert particles", *Combust. Sci. Tech.*, Vol. 47, pp. 299-315, (1986).
18. Joulin, A. and Eudier, M., "The radiation-dominated propagation and extinction of slow, particle-laden gaseous flames", *Twenty-Second Symposium(International) on Combustion, The Combustion Institute, Pittsburgh*, pp. 1579-1585, (1988).
19. El-Mahallaway, F. and El-Din Habik, S., "Fundamentals and Technology of Combustion", First Edition, Elsevier, Elsevier Science Ltd, the Boulevard, Langford Lane Kidlington. Oxford OX5 IGB, UK, (2002).